

# International Nonproprietary Names for Pharmaceutical Substances (INN)

## RECOMMENDED International Nonproprietary Names: List 57

Notice is hereby given that, in accordance with paragraph 7 of the Procedure for the Selection of Recommended International Nonproprietary Names for Pharmaceutical Substances [Off. Rec. Wld Health Org., 1955, **60**, 3 (Resolution EB15.R7); 1969, **173**, 10 (Resolution EB43.R9)], the following names are selected as Recommended International Nonproprietary Names. The inclusion of a name in the lists of Recommended International Nonproprietary Names does not imply any recommendation of the use of the substance in medicine or pharmacy.

Lists of Proposed (1–91) and Recommended (1–52) International Nonproprietary Names can be found in *Cumulative List No. 11, 2004* (available in CD-ROM only).

## Dénominations communes internationales des Substances pharmaceutiques (DCI)

## Dénominations communes internationales RECOMMANDÉES: Liste 57

Il est notifié que, conformément aux dispositions du paragraphe 7 de la Procédure à suivre en vue du choix de Dénominations communes internationales recommandées pour les Substances pharmaceutiques [Actes off. Org. mond. Santé, 1955, **60**, 3 (résolution EB15.R7); 1969, **173**, 10 (résolution EB43.R9)] les dénominations ci-dessous sont choisies par l'Organisation mondiale de la Santé en tant que dénominations communes internationales recommandées. L'inclusion d'une dénomination dans les listes de DCI recommandées n'implique aucune recommandation en vue de l'utilisation de la substance correspondante en médecine ou en pharmacie.

On trouvera d'autres listes de Dénominations communes internationales proposées (1–91) et recommandées (1–52) dans la *Liste récapitulative No. 11, 2004* (disponible sur CD-ROM seulement).

## Denominaciones Comunes Internacionales para las Sustancias Farmacéuticas (DCI)

## Denominaciones Comunes Internacionales RECOMENDADAS: Lista 57

De conformidad con lo que dispone el párrafo 7 del Procedimiento de Selección de Denominaciones Comunes Internacionales Recomendadas para las Sustancias Farmacéuticas [Act. Of. Mund. Salud, 1955, **60**, 3 (Resolución EB15.R7); 1969, **173**, 10 (Resolución EB43.R9)], se comunica por el presente anuncio que las denominaciones que a continuación se expresan han sido seleccionadas como Denominaciones Comunes Internacionales Recomendadas. La inclusión de una denominación en las listas de las Denominaciones Comunes Recomendadas no supone recomendación alguna en favor del empleo de la sustancia respectiva en medicina o en farmacia.

Las listas de Denominaciones Comunes Internacionales Propuestas (1–91) y Recomendadas (1–52) se encuentran reunidas en *Cumulative List No. 11, 2004* (disponible sólo en CD-ROM).

**Latin**, English, French, Spanish:*Recommended INN**Chemical name or description; Molecular formula; Graphic formula**DCI Recommandée**Nom chimique ou description; Formule brute; Formule développée**DCI Recomendada**Nombre químico o descripción; Fórmula molecular; Fórmula desarrollada***abagovomab<sup>\*</sup>**

abagovomab

immunoglobulin G1, anti-idiotype anti-[anti-(*Homo sapiens* cancer antigen 125, CA 125, MUC-16) *Mus musculus* monoclonal antibody OC125] *Mus musculus* monoclonal antibody ACA125, clone 3D5, gamma1 heavy chain disulfide with clone 3D5 kappa light chain; (223-223":226-226":228-228") trisdisulfide dimer

abagovomab

immunoglobuline G1, anti-idiotype anti-[anti-(*Homo sapiens* cancer antigen 125, CA 125, MUC-16) anticorps monoclonal murin OC125] anticorps monoclonal murin ACA125, chaîne lourde gamma1 du clone 3D5 unie par un pont disulfure à la chaîne légère kappa du clone 3D5; dimère (223-223":226-226":228-228")-trisdisulfure

abagovomab

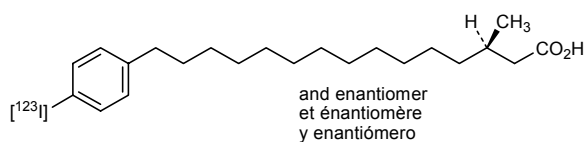
inmunoglobulina G1, anti-idiotipo anti-[anti-(*Homo sapiens* cancer antigeno 125, CA 125, MUC-16) anticuerpo monoclonal murino OC125] anticuerpo monoclonal murino ACA125, cadena pesada gamma1 del clon 3D5 unida por un puente disulfuro a la cadena ligera kappa del clon 3D5; dímero (223-223":226-226":228-228")-trisdisulfuro

## Heavy chain/Chaîne lourde/Cadena pesada

QVKLQESGAE LARP GAS VKL SCK ASGY TFT NYWM QWV KQR PG QGL DWIGA 50  
IYPGDGNTRY THKFKG KATL TADKSS STAY MQLSSLASED SGVYYCARGE 100  
GNYAWFAYWG QGTT VTV SSA KTT PPSV YPL APGSAAQ TNS MVT LGCL VKG 150  
YFP E PVT VTW NSGS LSSGVH TFP AVL QSDL YTLSS SVT VP SSTWP SET VT 200  
CNVAHPASST KVDKKIVPRD CGCKPCICTV PEVSSVF IFP PKPKDVLTIT 250  
LTPKVTCVVV DISKDDPEVQ FS WFV DDE VEV HTAQ TQP RREE QFN STFRS VS 300  
ELPIMHQDWL NGKE FKCRVN SAAFPAPIEK TISKTKGRPK APQV YTIPPP 350  
KEQMAKDKVS LTCM ITDFFF EDIT VEWQWN GQPAEN YKNT QPIM DTDG SY 400  
FVYSKLNVQK SNWEAGNTFT CSVL HEGLHN HITEKSLSHS PGK 443

## Light chain/Chaîne légère/Cadena ligera

DIELTQSPAS LSAS VGETVT ITCQASE NI SYLA WHQKQ GKSPQ LLL VYN 50  
AKTLAGGVSS RFSGSGSGTH FSL KIKS LQ P EDFGI YYCQH HYGILPTF GG 100  
GTKLEIKRAD AAPTSI FPP SSEQL TSGGA SVV CFLNNFY PKD INV KWKI 150  
DGSE RQNGV L NSWT DQDSKD STY SMS SLLT LTK DEYER HN SYT CEATH KHT 200  
STSP IVKS FN RNEC 214

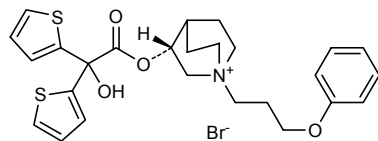
**acidum iodofilticum (<sup>123</sup>I)**iodofiltic acid (<sup>123</sup>I)(3RS)-15-[4-[<sup>123</sup>I]iodophenyl]3-methylpentadecanoic acidacide iodofiltique (<sup>123</sup>I)acide (3RS)-15-(4-[<sup>123</sup>I]iodophényle)-3-méthylpentadécanoïqueácido iodofiltico (<sup>123</sup>I)ácido (3RS)-15-(4-[<sup>123</sup>I]iodofenil)-3-metilpentadecanoico $C_{22}H_{35}{^{123}I}O_2$ 

**aclidinii bromidum**  
aclidinium bromide(3R)-3-[(hydroxy)di(thiophen-2-yl)acetyloxy]-1-(3-phenoxypropyl)-  
 $\text{C}_5$ -1*λ*-azabicyclo[2.2.2]octan-1-ylium bromide

bromure d'aclidinium

bromure de (3*R*)-3-[[hydroxybis(thiophén-2-yl)acétyl]oxy]-  
1-(3-phénoxypropyl)-1-azoniabicyclo[2.2.2]octane

bromuro de aclidinio

bromuro de (3*R*)-1-(3-fenoxipropil)-3-[(hidroxi)di(tiofen-2-il)acetiloxy]-  
 $\text{C}_5$ -1*λ*-azabiciclo[2.2.2]octan-1-ilio $\text{C}_{26}\text{H}_{30}\text{BrNO}_4\text{S}_2$ **afimoxifenum**  
afimoxifene

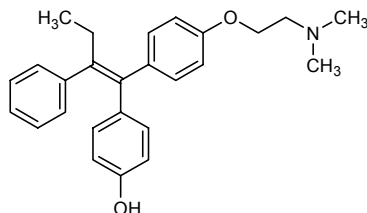
4-(1-[4-[2-(dimethylamino)ethoxy]phenyl]-2-phenylbut-1-enyl)phenol

afimoxifène

4-[1-[4-[2-(diméthylamino)éthoxy]phényl]-2-phénylbut-1-ényl]phénol

afimoxifeno

4-[1-[4-[2-(dimetilamino)etoxi]fenil]-2-fenilbut-1-enil]fenol

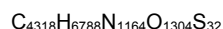
 $\text{C}_{26}\text{H}_{29}\text{NO}_2$ **afliberceptum\***  
afliberceptdes-432-lysine-[human vascular endothelial growth factor receptor  
1-(103-204)-peptide (containing Ig-like C2-type 2 domain) fusion  
protein with human vascular endothelial growth factor receptor  
2-(206-308)-peptide (containing Ig-like C2-type 3 domain fragment)  
fusion protein with human immunoglobulin G1-(227 C-terminal  
residues)-peptide (Fc fragment)], (211-211':214-214')-bisdisulfide  
dimer

aflibercept

(211-211':214-214')-bisdisulfure du dimère de la dés-432-lysine-  
récepteur 1 humain du facteur de croissance endothérial vasculaire-  
(103-204)-peptide (contenant le domaine Ig-like C2-type 2) protéine  
de fusion avec le récepteur 2 humain du facteur de croissance  
endothérial vasculaire-(206-308)-peptide (contenant un fragment du  
domaine Ig-like C2-type 3) protéine de fusion avec  
l'immunoglobuline G1 humaine-(227 résidus C-terminaux)-peptide  
(fragment Fc)]

## afibercept

(211-211':214-214')-bisdisulfuro del dímero de la des-432-lisina-[receptor 1 humano del factor de crecimiento endotelial vascular-(103-204)-péptido (que contiene el dominio Ig-like C2-tipo 2) proteína de fusión con el receptor 2 humano del factor de crecimiento endotelial vascular-(206-308)-péptido (que contiene un fragmento del dominio Ig-like C2-tipo 3) proteína de fusión con la inmunoglobulina G1 humana-(227 restos C-terminales)-péptido (fragmento Fc)]



Monomer / Monomère / Monómero  
 SDTGRPFVEM YSEIPEIIHM TEGRELVIPI C RVTSPNITVT LKKFPLDTLI 50  
 PDGKRIIWDS RKGFIIISNAT YKEIGLLTCE ATVNIGHLYKT NYLTHRQTNT 100  
 IIDVVLSPSH GIELSVGKEL VLNCTARTTEL NVGIDPNWEY PSSKHQHKKL 150  
 VNRLDKTQSG SEMKKFLSTL TIDGVTRSDQ GLYTCAASSG LMTKKNSTFV 200  
 RVHEKDKTHT CPPCPAPEL GGPSVFLFP KPKDTLMISR TPEVTCVVVD 250  
 VSHEDPVKKE NWYVDGVEVH NAKTKPREEQ YNSTYRVVSV LTVLHQDWLN 300  
 GKEYKCKVSN KALPAPIEKT ISKAKGQPQE PQVYTLPPSE DELTKNQVSL 350  
 TCLVKGFPYS DIAVEWESNG QPENNYKTTP PVLDSDGSFF LYSKLTVDKS 400  
 RWQQGNVFSC SVMHEALHNH YTQKSLSLSP G 431

Disulfide bridges location / Position des ponts disulfure / Posiciones de los puentes disulfuro  
 30-79 30-79' 124-185 124'-185' 211-211'  
 214-214' 246-306 246'-306' 352-410 352'-410'

**aleglitazarum**  
 aleglitazar

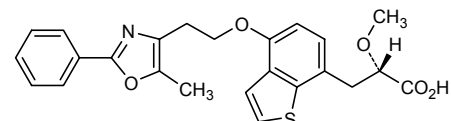
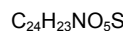
(2S)-2-methoxy-3-{4-[2-(5-methyl-2-phenyl-1,3-oxazol-4-yl)ethoxy]-1-benzothiophen-7-yl}propanoic acid

## aléglitazar

acide (2S)-2-méthoxy-3-[4-[2-(5-méthyl-2-phényl-1,3-oxazol-4-yl)éthoxy]-1-benzothiophén-7-yl]propanoïque

## aleglitazar

ácido (2S)-3-{4-[2-(2-fenil-1,3-oxazol-5-metil-4-il)etoxi]-1-benzotiofen-7-il}-2-metoxipropanoico


**alferminogenum tadenovec\***  
 alferminogene tadenovec

recombinant human adenovirus 5 (replication-deficient, E1-deleted) containing a human fibroblast growth factor-4 cDNA sequence driven by a cytomegalovirus promoter

## alferminogène tadénovec

adénovirus 5 humain recombinant (réplication-déficient, région E1-supprimée) contenant la séquence ADN-copie du facteur 4 de croissance du fibroblaste humain sous contrôle d'un promoteur de cytomégavirus

## alferminogén tadenovec

adenovirus 5 humano recombinante (replicación-deficiente, con delección E1) que contiene la secuencia DNA-copia del factor-4 de crecimiento de fibroblastos humanos controlado por un promotor de citomegalovirus

**apilimodum**  
apilimod

1-[(3-methylphenyl)methylidene]-2-[6-(morpholin-4-yl)-2-[2-(pyridin-2-yl)ethoxy]pyrimidin-4-yl]hydrazine

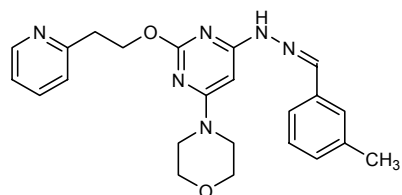
apilimod

1-(3-méthylbenzylidène)-2-[6-(morpholin-4-yl)-2-[2-(pyridin-2-yl)=éthoxy]pyrimidin-4-yl]diazane

apilimod

1-(3-metilbencilideno)-2-[6-(morfolin-4-il)-2-[2-(piridin-2-il)etoxi]=pirimidin-4-il]diazano

C<sub>23</sub>H<sub>26</sub>N<sub>6</sub>O<sub>2</sub>

**apricitabinum**  
apricitabine

4-amino-1-[(2*R*,4*R*)-2-(hydroxymethyl)-1,3-oxathiolan-4-yl]pyrimidin-2(1*H*)-one

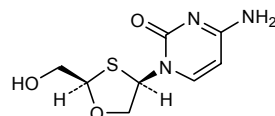
apricitabine

(-)4-amino-1-[(2*R*,4*R*)-2-(hydroxyméthyl)-1,3-oxathiolan-4-yl]=pyrimidin-2(1*H*)-one

apricitabina

(-)4-amino-1-[(2*R*,4*R*)-2-(hidroximetil)-1,3-oxatiolan-4-il]pirimidin-2(1*H*)-ona

C<sub>8</sub>H<sub>11</sub>N<sub>3</sub>O<sub>3</sub>S

**artemisonum**  
artemisone

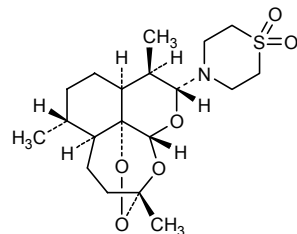
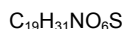
4-[(3*R*,5*a*S,6*R*,8*a*S,9*R*,10*R*,12*R*,12*a*R)-3,6,9-trimethyldecahydro-12*H*-3,12-epoxypyrano[4,3-*J*][1,2]benzodioxepin-10-yl]=thiomorpholine-1,1-dione

artémisone

1,1-dioxyde de 4-[(3*R*,5*a*S,6*R*,8*a*S,9*R*,10*R*,12*R*,12*a*R)-3,6,9-triméthyldécahydro-3,12-époxypyrano[4,3-*J*]-1,2-benzodioxépin-10-yl]thiomorpholine

artemisona

1,1-dióxido de 4-[(3*R*,5*a*S,6*R*,8*a*S,9*R*,10*R*,12*R*,12*a*R)-3,6,9-trimetildecahidro-3,12-epoxipirano[4,3-*J*]-1,2-benzodioxepin-10-il]=tiomorfolina


**ataciceptum\***  
 atacicept

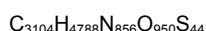
[86-serine,101-glutamic acid,196-serine,197-serine,222-aspartic acid,224-leucine][human tumor necrosis factor receptor superfamily member 13B-(30-110)-peptide (TACI fragment containing TNFR-Cys 1 and TNFR-Cys 2) fusion protein with human immunoglobulin G1-(232 C-terminal residues)-peptide ( $\gamma$ 1-chain Fc fragment), (92-92':95-95')-bisdisulfide dimer]

## atacicept

(92-92':95-95')-bisdisulfure du dimère de la [86-sérine,101-acide glutamique,196-sérine,197-sérine,222-acide aspartique,224-leucine]-protéine de fusion du membre 13B humain de la superfamille des récepteurs du facteur de nécrose tumorale-(30-110)-peptide (portion du TACI incluant les deux régions riches en cystéine) avec l'immunoglobuline G1 humaine-(232 résidus C-terminaux)-peptide (fragment Fc de la chaîne  $\gamma$ 1)

## atacicept

92-92':95-95')-bisdisulfuro del dímero de la [86-serina,101-ácido glutámico,196-serina,197-serina,222-ácido aspártico,224-leucina]-proteína de fusión del miembro 13B humano de la superfamilia de receptores del factor de necrosis tumoral-(30-110)-péptido (porción del TACI que incluye las dos regiones ricas en cisteína) con la inmunoglobulina G1 humana-(232 restos C-terminales)-péptido (fragmento Fc de la cadena  $\gamma$ 1)



## Monomer / Monomère / Monômero

AMRSCPEEQY	WDPLLGTGMS	CKTICNHQSQ	RTCAAFCRSL	SCRKEQQKFY	50
DHLLRDCISC	ASICGQHPKQ	CAYFCENKLR	SEPKSSDKTH	TCPCCPAPEA	100
EGAPSVPFLFP	PKPKDTLMIS	RTPEVTCVVV	DVSHEDEPVK	FNWYVVDGVEV	150
HNAKTKPFREE	QYNSTYRVVS	VLTVLHQDWL	NGKEYKCKVS	NKALPSSIEK	200
TISKAKGOPR	EPOQVYTLPLPS	RDELTKNQVS	LTCLVKGFYD	SDIAVEWESEN	250
GQPENNYKTT	PPVLDSDGSF	FLYSKLTVDK	SRWQQGNVFS	CSVMEHALHN	300
HYTQKSLSLS	PGK				313

Disulfide bridges location / Position des ponts disulfure / Posiciones de los puentes disulfuro  
 5-18 5'-18' 21-33 21'-33' 25-37 25'-37' 42-57 42'-57' 60-71  
 60'-71' 64-75 64'-75' 92-92' 95-95' 127-187 127'-187' 233-291 233'-291'

**azilsartanum**  
 azilsartan

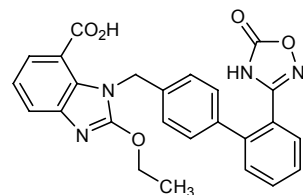
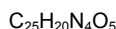
2-ethoxy-1-{[2'-(5-oxo-4,5-dihydro-1,2,4-oxadiazol-3-yl)-1,1'-biphenyl-4-yl]methyl}-1*H*-benzimidazole-7-carboxylic acid

## azilsartan

acide 2-éthoxy-1-[2'-(5-oxo-4,5-dihydro-1,2,4-oxadiazol-3-yl)=biphényl-4-yl)méthyl]-1*H*-benzimidazole-7-carboxylique

## azilsartán

ácido 2-etoxi-1-[2'-(5-oxo-4,5-dihidro-1,2,4-oxadiazol-3-il)bifenil-4-il]metil]-1*H*-bencimidazol-7-carboxílico



**bavituximab\***  
bavituximab

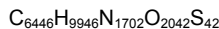
immunoglobulin G1, anti-(phosphatidylserine) chimeric monoclonal ch3G4; gamma1 heavy chain (*Mus musculus* VH-*Homo sapiens* IGHG1) (223-214')-disulfide with kappa light chain (*Mus musculus* V-KAPPA-*Homo sapiens* IGKC); (229-229":232-232")-bisdisulfide dimer

bavituximab

immunoglobuline G1, anti-(phosphatidylsérine) anticorps monoclonal chimérique ch3G4; chaîne lourde gamma1 (*Mus musculus* VH-*Homo sapiens* IGHG1) (223-214')-disulfure avec la chaîne légère kappa (*Mus musculus* V-KAPPA-*Homo sapiens* IGKC); dimère (229-229":232-232")-bisdisulfure

bavituximab

inmunoglobulina G1, anti-(fosfatidilserina) anticuerpo monoclonal químérico ch3G4; cadena pesada gamma1 (*Mus musculus* VH-*Homo sapiens* IGHG1) (223-214')-disulfuro con la cadena ligera kappa (*Mus musculus* V-KAPPA-*Homo sapiens* IGKC), dímero (229-229":232-232")-bisdisulfuro



Heavy chain / Chaîne lourde / Cadena pesada

EVQLQSGPENKGLVQKLEKPGASVKL	SCKASGYSFT	GYNMNMWVKQS	HGKSLEWIGH	50
IDPYYQDTSY	NQKFRGKATL	TVDKSSTAY	MQLKSLTSED	SAVYYCVKGG
YYGHWYFDVW	GAGTTVTVSS	ASTKGPSVFP	LAPSSKSTSG	GTAALGCLVK
DYFPEPVTVS	WNSGALTSGV	HTFPAPVLQSS	GLYSLSVVVT	VPSSSLGTQT
YICNVNHPKS	NTKVDKKVEP	KSCDKTHTCP	PCPAPELLGG	PSVFLFPPKP
KDTLMISRTP	EVTCAVVDVS	HEDPEVKFNW	YVDGVEVHNAA	KTKPREEQYN
STYRVVSVLT	VLHQDWLNGK	EYKCKVSNKA	LPAPIEKTIIS	KAKGOPREPO
VYTLPPSRDE	LTKNQVSLTC	LVKGFYPSDI	AVEWEESNGQP	ENNYKTTPPV
LDSDGSFFLY	SKLTVDKSRW	QQGNVFSCSV	MHEALHNHYT	QKSLSLSPGK

k Chain / Chaîne k / Cadena k

DIQMTQSPSS	LSAISLGERVSV	LTCRASQDIG	SSLNLWQQGP	DGTIKRLIYA
TSSLDSGVPK	RFSGSRSGSD	YSLTISSLES	EDFVDYYCLQ	YVSSPPTFGA
GTKLELKRAD	AAPSVIFPP	SDEQLKSGTA	SVVCLNNFY	PREAKVQWKV
DNALQSGNSQ	ESVTEQDSKD	STYSLSSTLT	LSKADYEKHK	VYACEVTHQG
LSSPVTKSFN	RGECA			214"

Disulfide bridges location / Position des ponts disulfure / Posiciones de los puentes disulfuro

22-96' 22"-96" 23'-88' 23"-88" 134'-194' 134"-194" 147-203 147"-203"

214"-223 214"-223" 229-229" 232-232" 264-324 264"-324" 370-428 370"-428"

**bedoradrinum**  
bedoradrine

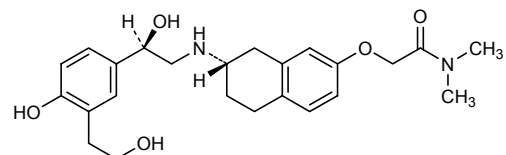
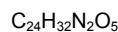
2-{{(7S)-7-({{(2R)-2-hydroxy-2-[4-hydroxy-3-(2-hydroxyethyl)phenyl}=ethyl}amino)-5,6,7,8-tetrahydronaphthalen-2-yl]oxy}-  
*N,N*-dimethylacetamide

## bédoradrine

(-)-2-{{(7S)-7-{{(2R)-2-hydroxy-2-[4-hydroxy-3-(2-hydroxyéthyl)=phényl]éthyl}amino}-5,6,7,8-tétrahydronaphtalén-2-yl]oxy}-  
*N,N*-diméthylacétamide

## bedoradrina

(-)-2-{{(7S)-7-{{(2R)-2-hidroxi-2-[4-hidroxi-3-(2-hidroxietil)fénil]=etil}amino}-5,6,7,8-tetrahidronaftalen-2-il]oxi}-*N,N*-dimetilacetamida

**beperminogenum perplasmidum\***  
beperminogene perplasmid

plasmid DNA containing human hepatocyte growth factor cDNA sequence driven by a cytomegalovirus promoter

## béperminogène perplasmide

ADN plasmidique contenant la séquence ADN-copie du facteur de croissance de l'hépatocyte humain sous contrôle d'un promoteur de cytomégalovirus

## beperminogén perplásmito

DNA de plásmido que contiene la secuencia DNA-copia del factor de crecimiento del hepatocito humano controlado por un promotor de citomegalovirus

**beroctocogum alfa\***  
beroctocog alfa

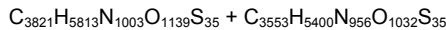
human blood-coagulation factor VIII-(1-740)-peptide complex with human blood-coagulation factor VIII-(1649-2332)-peptide

## béroctocog alfa

combinaison du facteur VIII de coagulation humain-(1-740)-peptide (chaîne lourde du facteur VIIIa, isoforme de 92 kDa) avec le facteur VIII de coagulation humain-(1649-2332)-peptide (chaîne légère du facteur VIIIa)

## beroctocog alfa

combinación del factor VIII de coagulación humano-(1-740)-péptido (cadena pesada del factor VIIIa, isoforma de 92 kDa) con el factor VIII de coagulación humano-(1649-2332)-péptido (cadena ligera del factor VIIIa)



## Heavy chain / Chaîne lourde / Cadena pesada

ATRRYYLGA	ELSWDYMQSD	LGEPLVDARF	PPRVPKSFPF	NTSVVYKKTL	50
FVEFTDHLFN	IAKPRPPWMG	LLGPTIQAEV	YDTVVITLKN	MASHPVLHA	100
VGVSYWKASE	GAEYDDQTSG	REKEEDKVFP	GGSHTYVWQV	LKENGPMSAD	150
PLCLTYSYLS	HVDLVKDLNS	GLIGALLVCR	EGSSLAKEKTQ	TLHKFILLFA	200
VFDEGKSWHS	ETKNSLMQDR	DAASARAWPK	MHTVNGYVNR	SLPGLIGCH	250
KSVYWHVIGM	GTTPVEHSIF	LEGHTFLVRN	HRQASLEISP	ITFLTAQTL	300
MDLGQFLLFC	HISSHQHDGM	EAYVKVDSCP	EEPQLRMKN	EEAEDYDDL	350
TDSEMDVVR	DDDNPSFIIQ	IRSVAKKHPK	TWVHYIAAEE	EDWDYAPLVL	400
APDDRSYKSQ	YLNNNGPQRIG	RKYKKVRFMA	YTDETFKTRE	AIQHESGILG	450
PLLGYGEVGDT	LLIIFKNQAS	RPYNIYPHGI	TDVRLPLYSR	LPGVVKHLKD	500
FFILPGEIIFK	YKWTVTVEDG	PTKSDPRCLT	RYYSSFVNME	RDLASGLIGP	550
LLICYKESV	QRGNQIMSDK	RNVILFSVFD	ENRWSWYLTN	IQRFLPNPAG	600
VQLEDPFQ	SNIMHSINGY	VFDSQLSVC	LHEVAYWIL	SIGAQTFPLS	650
VFSGYTFKH	KMVYEDTLTL	PFPSGETVFM	SMENPGLWIL	GCHNSDFRN	700
GMTALLKVSS	CDKNTGDYYE	DSYEDISAYL	LSKNNNAIEPR	S	741

## Light chain / Chaîne légère / Cadena ligera

TRTTLQSDQE	EIDYDDTISV	EMMKEDFDIY	DEDENQSPRS	EI	1650
AAVERLWDYG	MSSPHVLRN	RAQSGSPQF	KVVFQEF	FQKKTRHYFI	1700
ELNEHGLGLG	PYIRAEVEDN	IMVTFRNQAS	RPYSFYSSL	GSFTQPLYRG	1750
EPRKNFVKPN	ETKTYFWKVQ	HHMAPTKDEF	DCKAWAYFSD	LPKGVVKHLKD	500
LIGPLLVCHT	NTLNPAHGRQ	VTVQEFALFF	TIFDETKS	RDLASGLIGP	550
APCNIQMEDP	TFKENYRFHA	INGYIMDTLP	GLVMAQDQRI	SYEEDQRQGA	1800
ENIHSIHFSQ	HVFTRRKKEE	YKMALYNLYP	GVFETVEMLP	VDLEKDVHSG	1850
LIGEHLHAGM	STLFLVYSNK	CQTPLGMASG	HIRDFQITAS	SKAGIWRVEC	2000
ARLHYSGSIN	AWSTKEPEFSW	IKVDLLAPMI	IHGIKTQGAR	GQYQWAPKL	2050
FIIMYSLDGK	KWQTYRGNST	GTLMVFFGNV	DSSGIKHNI	QKFSSLVYISQ	2100
LHPTHYSIRS	TLRMEMLMGCD	LNSCSMPPLGM	ESKAISDAQI	NPPIIARYIR	2150
ATWSPSKARL	HLQGRSNAWR	PQVNNPKEWL	QVDFQKTMKV	TASSYFTNMF	2200
LLTSMYVKEF	LISSSSQDGHQ	WTLFFQNGKV	KVFQGNQDSF	TGVTITQGVKS	2250
LLTRYLRIHP	QSWHQIALR	MEVLGCEAQD	TPVVNSLDPP	2300	2332

Disulfide bridges location / Position des ponts disulfure / Posiciones de los puentes disulfuro  
153-179 528-554 1899-1903 2021-2169 2174-2326

Glycosylation sites / Sites de glycosylation / Posiciones de glicosilación  
Asn-41 Asn-239 Asn-582 Asn-1810 Asn-2118

Modifications / Modificaciones  
Y = 4-O-sulfotyrosyl

**bremelanotidum**  
bremelanotide

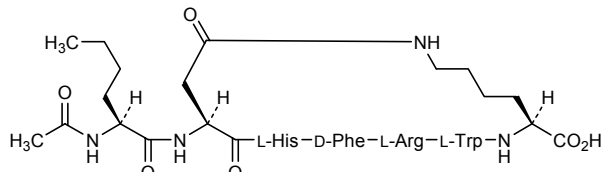
2,7-anhydro(*N*-acetyl-L-2-aminohexanoyl-L-aspartyl-L-histidyl-D-phenylalanyl-L-arginyl-L-tryptophyl-L-lysine)

## brémelanotide

*N*-acétyl-L-2-aminohexanoyl-L-α-aspartyl-L-histidyl-D-phénylalanyl-L-arginyl-L-tryptophyl-L-lysine-(2→7)-lactame

## bremelanotida

*N*-acetyl-L-2-aminohexanoil-L-α-aspartil-L-histidil-D-fenilalanil-L-arginil-L-triptofil-L-lisina-(2→7)-lactama



**bucelipasum alfa\***  
bucelipase alfahuman bile-salt-activated lipase (cholesterol esterase, EC 3.1.1.13),  
glycoform alfa (recombinant hBSSL)

bucélipase alfa

lipase activée par les sels biliaires humaine (cholestérol estérase,  
EC 3.1.1.13), glicoforme alpha (recombinante hBSSL)

bucelipasa alfa

lipasa humana activada por las sales biliares (colesterol esterasa,  
EC 3.1.1.13), glicoforma alfa (recombinante hBSSL)

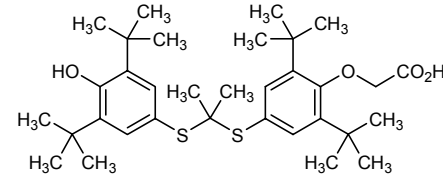
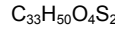
AKLGAVYTEG	GFVEGVNKKL	GLLGDSVDIF	KGIPFAAPTK	ALENPQPHPG	50
WQGTLKAKNF	KKRCLQATIT	QDSTYGDDEC	LYLNIWVPOQ	RKQVSRDLPV	100
MIWIYGG AFL	MGS GHGANFL	NNVLYDGE EI	ATRGNVIVVT	FNYRVGPLGF	150
LSTGDANILPG	NYGLRDQHMA	IAWVKRNIAA	FGGDPNNITL	FGESAGGASV	200
SLQTLSPY NK	GLIRRAISQS	GVALSPWVIQ	KNPLFWAKKV	AEKVGCPVGD	250
AARMAQCLKV	TDPRALTAY	KVPLAGLEYP	MLHYVGFVPV	IDGDFIPADP	300
INLYANAADI	DYIAGTNMMD	GHIFASIDMP	AINKGNKVKT	EEDFYKLVSE	350
FTITTKGLRGA	KTTFDVYTES	WAQDPSQE N	KKT VVD FETD	VLF LVPT EIA	400
LAQHRANAKS	AKTYAYLFSH	PSR MPVY PKW	VGA DHADDIQ	YVFGKPFATP	450
TGYRPQDR TV	SKAMIA YWTN	FAKT GDPNMG	DSAV PTHWEP	YT TENG SYLE	500
ITKKMGS SSM	KRSL RLTN FLR	YWT LTYL ALP	TVD QEA TPV	PP TGD SEATP	550
VPP TGD SETA	PV PPT GDSGA	PPV PPT GD SG	APP V PPT GDS	GAP PVP PTG D	600
SGAP PV PPTG	D SGAP PP VPT	GDS GAP VPP	TGDS GAP VP V	PTG DAG PPP V	650
PPT GD SG APP	V PPT GD SG AP	PV TPT GD SET	APV PPT GD SG	APP VP PTG DS	700
EAAP VP PT DD	SKEA QM PAVI	RF			722

Disulfide bridges location / Position des ponts disulfure / Posiciones de los puentes disulfuro  
64-80 246-257Glycosylation sites / Sites de glycosylation / Posiciones de glicosilación  
Asn-187 Thr-538 Thr-549 Thr-559 Thr-576 Thr-587  
Thr-598 Thr-609 Thr-620 Thr-631 Thr-642**camobucolum**  
camobucol4-{4-[(2-{{[3,5-di(*tert*-butyl)-4-hydroxyphenyl]sulfanyl}propan-2-yl)=sulfanyl]-2,6-di(*tert*-butyl)phenoxy}acetic acid

camobucol

acide 4-{4-[(2-{{[3,5-di(*tert*-butyl)-4-hydroxyphényl]sulfanyl}propan-2-yl)sulfanyl]-2,6-di(*tert*-butyl)phénoxy}acétique

camobucol

ácido 4-{4-[(2-{{[3,5-di(*terc*-butil)-4-hidroxifenil]sulfanil}propan-2-il)=sulfanil]-2,6-di(*terc*-butil)fenoxy}acético**capadenosonum**  
capadenoson

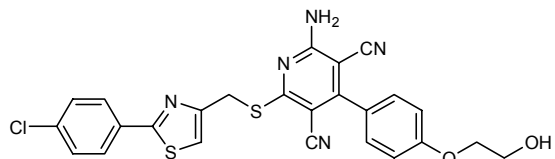
2-amino-6-({[2-(4-chlorophenyl)-1,3-thiazol-4-yl]methyl}sulfanyl)-4-[4-(2-hydroxyethoxy)phenyl]pyridine-3,5-dicarbonitrile

capadénoson

2-amino-6-[[[2-(4-chlorophényl)-1,3-thiazol-4-yl]méthyl]sulfanyl]-4-[4-(2-hydroxyéthoxy)phényl]pyridine-3,5-dicarbonitrile

capadenosón

2-amino-6-({[2-(4-clorofenil)-1,3-tiazol-4-il]metil}sulfanil)-4-[4-(2-hidroxietoxi)fenil]piridina-3,5-dicarbonitrilo

**catramilastum**

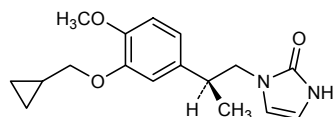
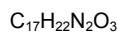
catamilast

1-[(2*S*)-2-[3-(cyclopropylmethoxy)-4-methoxyphenyl]propyl]-1,3-dihydro-2*H*-imidazol-2-one

catramilast

1-[(2*S*)-2-[3-(cyclopropylméthoxy)-4-méthoxyphényl]propyl]-1,3-dihydro-2*H*-imidazol-2-one

catramilast

1-[(2*S*)-2-[3-(ciclopropilmetoxi)-4-metoxifenil]propil]-1,3-dihidro-2*H*-imidazol-2-oná**cediranibum**

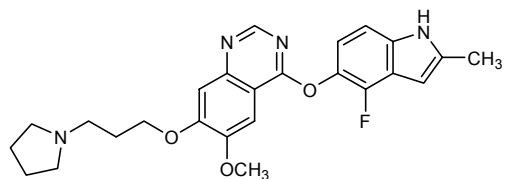
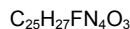
cediranib

4-[(4-fluoro-2-methyl-1*H*-indol-5-yl)oxy]-6-methoxy-7-[3-(pyrrolidin-1-yl)propoxy]quinazoline

cédiranib

4-[(4-fluoro-2-méthyl-1*H*-indol-5-yl)oxy]-6-méthoxy-7-[3-(pyrrolidin-1-yl)propoxy]quinazoline

cediranib

4-[(4-fluoro-2-metil-1*H*-indol-5-il)oxi]-6-metoxi-7-[3-(pirrolidin-1-il)=propoxi]quinazolina**denibulinum**

denibulin

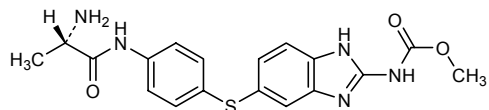
methyl [5-[(2*S*)-2-aminopropanamido]phenyl]sulfanyl]-1*H*-benzimidazol-2-yl]carbamate

dénibuline

[5-[[4-[(2*S*)-2-aminopropanamido]phenyl]sulfanyl]-1*H*-benzimidazol-2-yl]carbamate de méthyle

denibulina

[5-[(2*S*)-2-aminopropanamido]fenil]sulfanil)-1*H*-bencimidazol-2-il]carbamato de metilo

**dextelvucitabinum**

dextelvucitabine

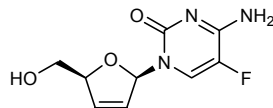
4-amino-5-fluoro-1-[(2R,5S)-5-(hydroxymethyl)-2,5-dihydrofuran-2-yl]pyrimidin-2(1H)-one

dexelvucitabine

(+)4-amino-5-fluoro-1-[(2R,5S)-5-(hydroxyméthyl)-2,5-dihydrofuran-2-yl]pyrimidin-2(1H)-one

dexelvucitabina

(+)4-amino-5-fluoro-1-[(2R,5S)-5-(hidroximetil)-2,5-dihidrofuran-2-il]pirimidin-2(1H)-ona

**efungumab\***

efungumab

immunoglobulin scFv fragment, anti-(heat shock protein 90 homolog from *Candida albicans* (yeast)), methionylalanyl-[human monoclonal HSP90mab VH domain (120 residues)]-tris[(tetraglycyl)seryl]-[human monoclonal HSP90mab V-KAPPA domain (107 residues)]-[arginyl-trialanyl-leucyl-glutamyl]-hexahistidine

éfungumab

immunoglobuline fragment scFv, anti-(homologue de la protéine de choc thermique 90 de *Candida albicans* (levure)), méthionylalanyl-[domaine VH (120 residus) de l'anticorps monoclonal humain HSP90mab]-tris[(tetraglycyl)séryl]-[domaine V-KAPPA (107 residus) de l'anticorps monoclonal humain HSP90mab]-[arginyl-trialanyl-leucyl-glutamyl]-hexahistidine

efungumab

inmunoglobulina fragmento scFv, anti-(homólogo de la proteína de choc térmico 90 de *Candida albicans* ), metionilalanil-[dominio VH (120 restos) del anticuerpo monoclonal humano HSP90mab]-tris[(tetraglicil)seril]-[dominio V-KAPPA (107 restos) del anticuerpo monoclonal humano HSP90mab]-[arginil-trialanil-leucil-glutamil]-hexahistidina

```

MAEVQLVES GAEVKKPGES LRISCKGSGC IISSYWISWV RQMPGKGLEW
MGKIDPGDSY INYSPSFQGH VTISADKSIN TAYLQWNNSLK ASDTAMYCA
RGGRDFGDSF DYWGQGTLVT VSSGGGGSGG GGSGGGGSVD VMTQSPSFLS
AFVGDRITIT CRASSGISRY LAWYQQAPGK APKLLIYAAS TLQTGVPSRF
SGSGSGTEFT LTINSIQPED FATYYCQHLN SYPLTFGGGT KVDIKRAAA
LEhhhhhh

```

**elocalcitolum**  
elocalcitol

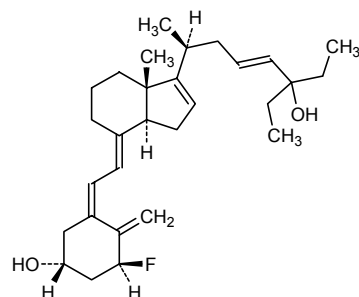
(1S,3R,5Z,7E,23E)-1-fluoro-26,27-dihomo-9,10-secocholesta-5,7,10(19),16,23-pentaene-3,25-diol

## élocalcitol

(1R,5S)-3-[(1Z)-2-[(3aS,4E,7aS)-1-[(1S,3E)-5-éthyl-5-hydroxy-1-méthylept-3-ényl]-7a-méthyl-3,3a,5,6,7,7a-hexahydro-4H-indén-4-ylidène]éthylidène]-5-fluoro-4-méthylidènecyclohexanol

## elocalcitol

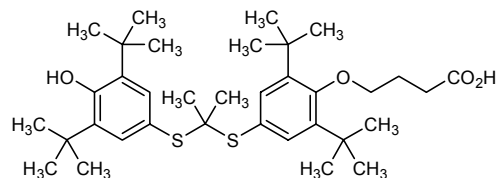
(1S,3R,5Z,7E,23E)-1-fluoro-26,27-dihomo-9,10-secocholesta-5,7,10(19),16,23-pentaeno-3,25-diol

C<sub>29</sub>H<sub>43</sub>FO<sub>2</sub>**elsibucolum**  
elsibucol4-{4-[(2-[[3,5-di-*tert*-butyl-4-hydroxyphényl]sulfanyl]propan-2-yl)=sulfanyl]-2,6-di-*tert*-butylphenoxy}butanoïque

## elsibucol

acide 4-[4-[[1-[[3,5-bis(1,1-diméthyléthyl)-4-hydroxyphényl]sulfanyl]-1-méthylethyl]sulfanyl]-2,6-bis(1,1-diméthylethyl)phénoxy]butanoïque

## elsibucol

ácido 4-{4-[(2-[[3,5-di-*terc*-butil-4-hidroxifenil]sulfanil]propan-2-il)=sulfanil]-2,6-di-*terc*-butilfenoxi}butanoicoC<sub>35</sub>H<sub>54</sub>O<sub>4</sub>S<sub>2</sub>**epoetinum theta**  
epoetin theta

human erythropoietin-(1-165)-peptide, glycoform θ

## époétine thêta

érythropoïétine humaine-(1-165)-peptide, glycoforme θ

## epoetina zeta

eritropoyetina humana-péptido-(1-165), glicoforma θ

C<sub>809</sub>H<sub>1301</sub>N<sub>229</sub>O<sub>240</sub>S<sub>5</sub>

**ferroquinum**  
ferroquine

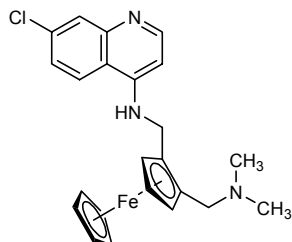
*N'*-(7-chloroquinolin-4-yl)-*N,N*-dimethyl-*C,C'*-(ferrocene-1,2-diyl)=dimethanamine

ferroquine

*N'*-(7-chloroquinoléin-4-yl)-*N,N*-diméthyl-*C,C'*(férrocène-1,2-diyl)=diméthanamine

ferroquina

*N'*-(7-cloroquinolin-4-il)-*N,N*-dimetil-*C,C'*(ferroceno-1,2-diil)=dimetanamina

**fluticasonium furoas**  
fluticasone furoate

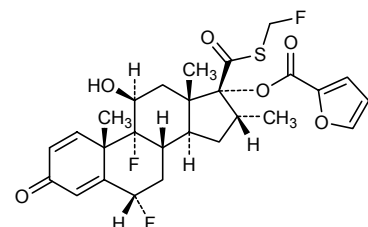
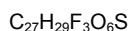
*6* $\alpha$ ,9-difluoro-17-[(fluoromethyl)sulfanyl]carbonyl]-11 $\beta$ -hydroxy-16 $\alpha$ -methyl-3-oxoandrosta-1,4-dien-17 $\alpha$ -yl furan-2-carboxylate

furoate de fluticasone

furane-2-carboxylate de *6* $\alpha$ ,9-difluoro-17-[(fluorométhyl)sulfanyl]=carbonyl]-11 $\beta$ -hydroxy-16 $\alpha$ -méthyl-3-oxoandrosta-1,4-dién-17 $\alpha$ -yle

furoato de fluticasona

furano-2-carboxilato de *6* $\alpha$ ,9-difluoro-17-[(fluorometil)sulfaniil]=carbonil]-11 $\beta$ -hidroxi-16 $\alpha$ -metil-3-oxoandrosta-1,4-dien-17 $\alpha$ -ilo

**fosalvudinum tidoxilum**  
fosalvudine tidoxil

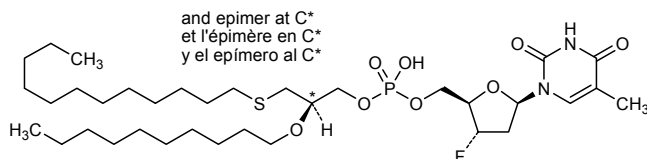
(*2RS*)-2-(decyloxy)-3-[(dodecyl)sulfanyl]propyl [*(2R,3S,5R)*-3-fluoro-5-(5-methyl-2,4-dioxo-3,4-dihdropyrimidin-1(2*H*)-yl)tetrahydrofuran-2-yl]methyl hydrogen phosphate

fosalvudine tidoxil

hydrogénophosphate de (*2RS*)-2-(décyloxy)-3-(dodécylsulfanyl)=propyle et de [*(2R,3S,5R)*-3-fluoro-5-(5-méthyl-2,4-dioxo-3,4-dihdropyrimidin-1(2*H*)-yl)tétrahydrofuran-2-yl]méthyle

fosalvudina tidoxilo

hidrógenofosfato de (*2RS*)-2-(deciloxi)-3-[(dodecyl)sulfaniil]propilo y [*(2R,3S,5R)*-3-fluoro-5-(5-metil-2,4-dioxo-3,4-dihidropirimidin-1(2*H*)-il)tetrahidrofuran-2-il]metilo



**gamithromycinum**  
gamithromycin

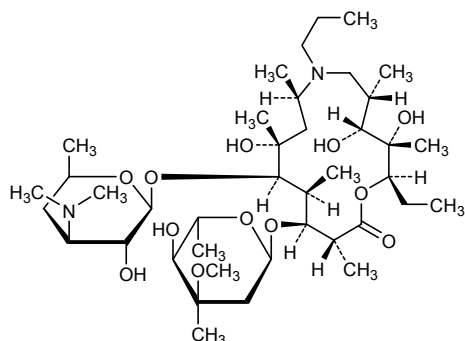
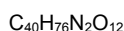
(2*R*,3*S*,4*R*,5*S*,8*R*,10*R*,11*R*,12*S*,13*S*,14*R*)-13-[(2,6-dideoxy-3-C-methyl-3-O-methyl- $\alpha$ -L-*ribo*-hexopyranosyl)oxy]-2-ethyl-3,4,10-trihydroxy-3,5,8,10,12,14-hexamethyl-7-propyl-11-[[3,4,6-trideoxy-3-(dimethylamino)- $\beta$ -D-*xylo*-hexopyranosyl]oxy]-1-oxa-7-azacyclopentadecan-15-one

gamithromycin

(2*R*,3*S*,4*R*,5*S*,8*R*,10*R*,11*R*,12*S*,13*S*,14*R*)-13-[(2,6-didésoxy-3-C-méthyl-3-O-méthyl- $\alpha$ -L-*ribo*-hexopyranosyl)oxy]-2-éthyl-3,4,10-trihydroxy-3,5,8,10,12,14-hexaméthyl-7-propyl-11-[[3,4,6-tridésoxy-3-(diméthylamino)- $\beta$ -D-*xylo*-hexopyranosyl]oxy]-1-oxa-7-azacyclopentadécan-15-one

gamitromicina

(2*R*,3*S*,4*R*,5*S*,8*R*,10*R*,11*R*,12*S*,13*S*,14*R*)-13-[(2,6-didesoxi-3-C-metil-3-O-metil- $\alpha$ -L-*ribo*-hexopiranosi)oxi]-2-etyl-3,4,10-trihidroxi-3,5,8,10,12,14-hexametil-7-propil-11-[[3,4,6-tridesoxi-3-(dimetilamino)- $\beta$ -D-*xylo*-hexopiranosi]oxi]-1-oxa-7-azaciclopentadecan-15-ona



**ilepatrilum**  
ilepatril

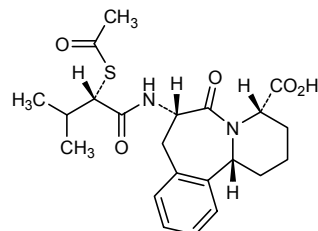
(4*S*,7*S*,12*bR*)-7-[(2*S*)-2-(acetylsulfanyl)-3-methylbutanamido]-6-oxo-1,2,3,4,6,7,8,12*b*-octahydropyrido[2,1-*a*][2]benzazepine-4-carboxylic acid

ilépatril

acide (4*S*,7*S*,12*bR*)-7-[(2*S*)-2-(acetylulfanyl)-3-méthylbutanoyl]=amino]-6-oxo-1,2,3,4,6,7,8,12*b*-octahydropyrido[2,1-*a*][2]=benzazépine-4-carboxylique

ilepatrilo

ácido (4*S*,7*S*,12*bR*)-7-[(2*S*)-2-(acetilsulfanil)-3-metilbutanoil]amino]-6-oxo-1,2,3,4,6,7,8,12*b*-octahidropirido[2,1-*a*][2]benzazepina-4-carboxílico



**imisopasemum manganum**  
imisopasem manganese

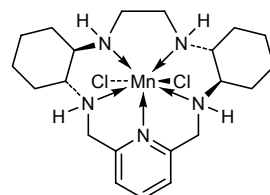
(PBPY-7-11-2344'3')-dichloro[(4a*R*,13*aR*,17*aR*,21*aR*)-1,2,3,4,4*a*,5,6,12,13,13*a*,14,15,16,17,17*a*,18,19,20,21,21*a*-icosahydro-7,11-(azeno)dibenzo[*b,h*][1,4,7,10]=tetraazacycloheptadecine-κ<sup>4</sup>*N*<sup>5</sup>,*N*<sup>13</sup>,*N*<sup>18</sup>,*N*<sup>21</sup>,*N*<sup>22</sup>]manganese

imisopasem manganese

(PBPY-7-11-2344'3')-dichloro[(4a*R*,13*aR*,17*aR*,21*aR*)-1,2,3,4,4*a*,5,6,12,13,13*a*,14,15,16,17,17*a*,18,19,20,21,21*a*-icosahydro-11,7-nitrilo-7*H*-dibenzo[*b,h*][1,4,7,10]=tetraazacycloheptadécine-κ*N*<sup>5</sup>,*N*<sup>13</sup>,*N*<sup>18</sup>,*N*<sup>21</sup>,*N*<sup>22</sup>]manganèse

imisopasem manganese

(PBPY-7-11-2344'3')-dichloro[(4a*R*,13*aR*,17*aR*,21*aR*)-1,2,3,4,4*a*,5,6,12,13,13*a*,14,15,16,17,17*a*,18,19,20,21,21*a*-icosahidro-7,11-(azeno)dibenzo[*b,h*][1,4,7,10]=tetraazacicloheptadecino-κ<sup>4</sup>*N*<sup>5</sup>,*N*<sup>13</sup>,*N*<sup>18</sup>,*N*<sup>21</sup>,*N*<sup>22</sup>]manganese



**inakalantum**  
inakalant

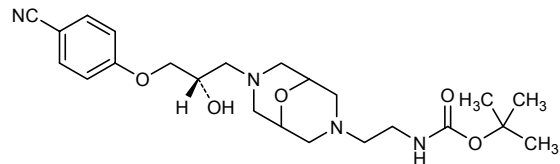
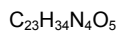
*tert*-butyl (2-{7-[(2*S*)-3-(4-cyanophenoxy)-2-hydroxypropyl]-9-oxa-3,7-diazabicyclo[3.3.1]nonan-3-yl}ethyl)carbamate

inakalant

[2-{7-[(2*S*)-3-(4-cyanophenoxy)-2-hydroxypropyl]-9-oxa-3,7-diazabicyclo[3.3.1]non-3-yl}éthyl]carbamate de 1,1-diméthyléthyle

inakalant

(2-{7-[(2*S*)-3-(4-cianofenoxi)-2-hidroxipropil]-9-oxa-3,7-diazabicielo-[3.3.1]nonan-3-il}etyl)carbamato de *terc*-butilo



**lapaquistatum**

lapaquistat

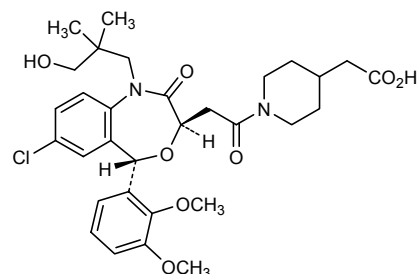
(1-{{(3R,5S)-1-(3-hydroxy-2,2-dimethylpropyl)-7-chloro-5-(2,3-dimethoxyphenyl)-2-oxo-1,2,3,5-tetrahydro-4,1-benzoxazepin-3-yl]acetyl}piperidin-4-yl)acetic acid

lapaquistat

acide (1-{{(3R,5S)-1-(3-hydroxy-2,2-diméthylpropyl)-7-chloro-5-(2,3-diméthoxyphényle)-2-oxo-1,2,3,5-tétrahydro-4,1-benzoxazépin-3-yl]acétyle}pipéridin-4-yl)acétique

lapaquistat

ácido (1-{{(3R,5S)-1-[3-hidroxi-2,2-dimetilpropil])-7-cloro-5-(2,3-dimetoxifenil)-2-oxo-1,2,3,5-tetrahidro-4,1-benzoxazepin-3-il]acetil}piperidin-4-il)acético

**levonadifloxacinum**

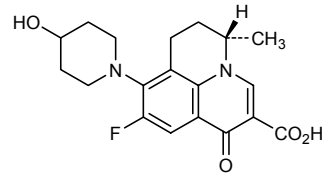
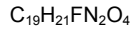
levonadifloxacin

(5S)-9-fluoro-8-(4-hydroxypiperidin-1-yl)-5-methyl-1-oxo-6,7-dihydro-1H,5H-benzo[*ij*]quinolizine-2-carboxylic acid

lévonadifloxacine

(-)-acide (5S)-9-fluoro-8-(4-hydroxypipéridin-1-yl)-5-méthyl-1-oxo-6,7-dihydro-1H,5H-benzo[*ij*]quinolizine-2-carboxylique

levonadifloxacino

ácido (5S)-9-fluoro-8-(4-hidroxipiperidin-1-il)-5-metil-1-oxo-6,7-dihidro-1H,5H-benzo[*ij*]quinolizina-2-carboxílico**lexatumumabum\***

lexatumumab

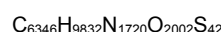
immunoglobulin G1, anti-human tumor necrosis factor receptor superfamily member 10B (TNFRSF10B, death receptor 5, TNF-related apoptosis-inducing ligand receptor 2, TRAIL-R2, CD262]) human monoclonal HGS-ETR2; gamma1 heavy chain (*Homo sapiens* VH-IGHG1) (224-213')-disulfide with lambda light chain (*Homo sapiens* V-LAMBDA- IGLC2); (230-230":233-233")-bisdisulfide dimer

## lexatumumab

immunoglobuline G1, anti-[membre 10B de la superfamille des récepteurs du facteur de nécrose tumorale humain (TNFRSF10B, death receptor 5, TRAIL-R2, CD262)] anticorps monoclonal humain HGS-ETR2; chaîne lourde gamma1 (*Homo sapiens* VH-IGHG1) (224-213')-disulfure avec la chaîne légère lambda (*Homo sapiens* V-LAMBDA- IGLC2); dimère (230-230":233-233")-bisdisulfure

## lexatumumab

imunoglobulina G1, anti-[miembro 10B de la superfamilia de receptores del factor de necrosis tumoral humano (TNFRSF10B, death receptor 5, TRAIL-R2, CD262)] anticuerpo monoclonal humano HGS-ETR2; cadena pesada gamma1 (*Homo sapiens* VH-IGHG1) (224-213')-disulfuro con la cadena ligera lambda (*Homo sapiens* V-LAMBDA- IGLC2); dímero (230-230":233-233")-bisdisulfuro



## Heavy chain / chaîne lourde / cadena pesada

EVQLVQSGGG	VERPGGSLRL	SCAASGFTFD	DYGMSWVRQA	PGKGLEWVSG	50
INWNGGSTGY	ADSVKGRTTI	SRDNAKNSLY	LQMNSLRAED	TAVYYCAKIL	100
GAGRGRWYFDL	WGKGTTVTVS	SASTKGPSVF	PLAPSSKSTS	GGTAALGCLV	150
KDVFPEPVTV	SWNSGALTSG	VHTFPAPLQS	SGLYSSLSSVV	TVPSSSLGTQ	200
TYICNVNHKP	SNTKVDKRVE	PKSCDKTHTC	PPCPAPELLG	GPSVFLFPPK	250
PKDTLMISRT	PEVTCVVVDV	SHEDPEVKFN	WYVDGVEVHN	AKTKPREEQY	300
NSTYRVVSVL	TVLHQDWLNG	KEYKCKVFSNK	ALPAPIEKTI	SKAKGQPREP	350
QVTLPPSRE	EMTKNQVSLT	CLVKGFYPSD	IAVEWESNGQ	PENNYKTTPP	400
VLDSDGSFFL	YSKLTVDKSR	WQQGNVFSCS	VMHEALHNHY	TQKSLSLSPG	450
K					

## Lambda chain / chaîne lambda / cadena lambda

SSELTQDPAV	SVALGQTIVRI	TCQGDLSRY	YASWYQQKPG	QAPVLVIYGK	50
NNRPG1PDR	FSGSSSGNTA	SLITTGQAE	DEADYYCNSR	DSSGNHVFG	100
GGTKLTVLQG	PKAAPSVTLF	PPSSELQAN	KATLVCLISD	FYPGAVTVAW	150
KADSSPVKAG	VETTPPSKQS	NNKYAAASSYL	SLTPEQWKSH	RSYSCQVTHE	200
GSTVEKTVAP	TECS				

Disulfide bridges location / Position des ponts disulfure / Posiciones de los puentes disulfuro  
 22°-96° 22°-87° 22°-96° 22°-87° 136°-195° 136°-195° 148-204 148°-204°  
 213°-224° 213°-224° 230-230" 233-233" 265-325 265°-325° 371-429 371°-429"

## lifeciguatum

## lifeciguat

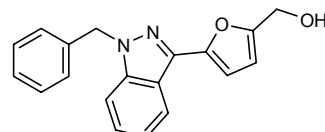
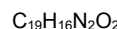
[5-(1-benzyl-1*H*-indazol-3-yl)furan-2-yl]methanol

## lifeciguat

[5-(1-benzyl-1*H*-indazol-3-yl)furan-2-yl]méthanol

## lifeciguat

[5-(1-bencil-1*H*-indazol-3-il)furan-2-il]metanol



## lobeglitzonum

## lobeglitzalone

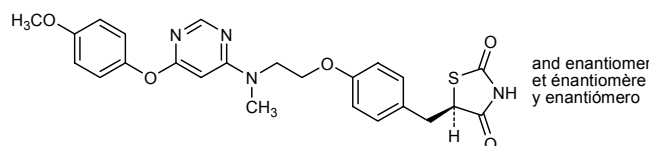
(5*RS*)-5{[4-(2-[[6-(4-methoxyphenoxy)pyrimidin-4-yl]methylamino)=ethoxy]phenyl]methyl}-1,3-thiazolidine-2,4-dione

## lobéglitazone

(5*RS*)-5-[4-{2-[[6-(4-méthoxyphénoloxy)pyrimidin-4-yl]métethylamino]=éthoxy]benzyl]thiazolidine-2,4-dione

## lobeglitzazona

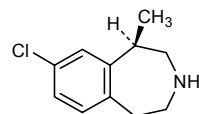
(5*RS*)-5-[4-(2-[[6-(4-metoxifenoxi)pirimidin-4-il]metilamino]etoxi)=bencil]-1,3-tiazolidina-2,4-diona


**lorcaserinum**  
 lorcaserin
(1*R*)-8-chloro-1-methyl-2,3,4,5-tetrahydro-1*H*-3-benzazepine

## lorcasépine

(1*R*)-8-chloro-1-méthyl-2,3,4,5-tétrahydro-1*H*-3-benzazépine

## lorcaserina

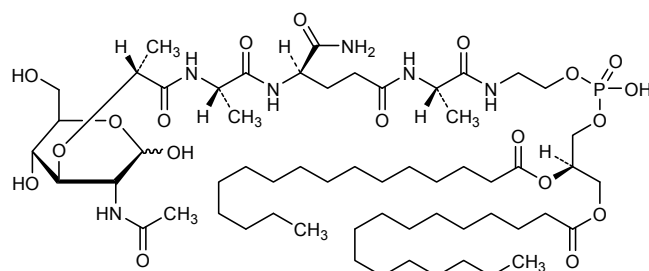
(1*R*)-8-cloro-1-metil-2,3,4,5-tetrahidro-1*H*-3-benzazepina
**mifamurtidum**  
 mifamurtide

 2-[*N*-{(2*R*)-[(2-acetamido-2,3-dideoxy-D-glucopyranos-3-yl)oxy]propanoyl}-L-alanyl-D-isoglutaminyl-L-alanyl]aminoethyl  
 (2*R*)-2,3-bis(hexadecanoyloxy)propyl hydrogen phosphate

## mifamurtide

 hydrogénophosphate de 2-[[*N*-[(2*R*)-2-[(3*R,4R,5S,6R*)-3-(acétamino)-2,5-dihydroxy-6-(hydroxyméthyl)tétrahydro-2*H*-pyran-4-iloxy]propanoyl]-L-alanyl-D-isoglutaminyl-L-alanyl]amino]éthyle et de (2*R*)-2,3-bis(hexanoiloxy)propyle

## mifamurtida

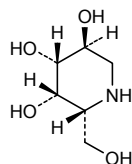
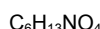
 hidrógenofosfato de 2-[[*N*-[(2*R*)-2-[(3*R,4R,5S,6R*)-3-(acetilamino)-2,5-dihidroxi-6-(hidroximetil)tetráhido-2*H*-piran-4-iloxi]propanoil]-L-alanil-D-isoglutaminil-L-alanil]amino]etilo y de (2*R*)-2,3-bis(hexanoiloxi)propilo

**migalastatum**  
 migalastat
(2*R,3S,4R,5S*)-2-(hydroxymethyl)piperidine-3,4,5-triol

## migalastat

(+)-(2*R,3S,4R,5S*)-2-(hydroxyméthyl)pipéridine-3,4,5-triol

## migalastat

(2*R,3S,4R,5S*)-2-(hidroximetil)piperidina-3,4,5-triol

**mirodenafilum**

mirodenafil

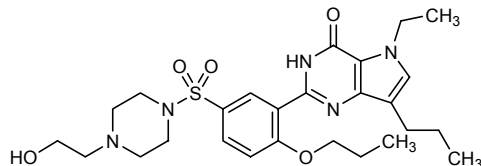
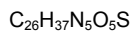
5-ethyl-2-(5-[[4-(2-hydroxyethyl)piperazin-1-yl]sulfonyl]-2-propoxyphenyl)-7-propyl-3,5-dihydro-4*H*-pyrrolo[3,2-*d*]pyrimidin-4-one

mirodénafil

5-éthyl-2-[5-[[4-(2-hydroxyéthyl)pipérazin-1-yl]sulfonyl]-2-propoxyphényle]-7-propyl-3,5-dihydro-4*H*-pyrrolo[3,2-*d*]pyrimidin-4-one

mirodenafilo

5-etyl-2-(5-[[4-(2-hidroxietil)piperazin-1-il]sulfonil]-2-propoxifenil)-7-propil-3,5-dihidro-4*H*-pirrolo[3,2-*d*]pirimidin-4-ona

**motavizumabum\***

motavizumab

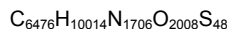
immunoglobulin G1, anti-(human respiratory syncytial virus glycoprotein F) humanized monoclonal MEDI-524; gamma1 heavy chain [humanized VH (*Homo sapiens* FR/*Mus musculus* CDR)-*Homo sapiens* IGHG1] (223-213')-disulfide with kappa light chain [humanized V-KAPPA (*Homo sapiens* FR/*Mus musculus* CDR)-*Homo sapiens* IGKC]; (229-229"-232-232")-bisdisulfide dimer

motavizumab

immunoglobuline G1, anti-(glycoprotéine de fusion du virus syncytial respiratoire humain) anticorps monoclonal humanisé MEDI-524; chaîne lourde gamma1 [VH humanisé (*Homo sapiens* FR/*Mus musculus* CDR)-*Homo sapiens* IGHG1] (223-213')-disulfure avec la chaîne légère kappa [V-KAPPA humanisé (*Homo sapiens* FR/*Mus musculus* CDR)-*Homo sapiens* IGKC]; dimère (229-229":232-232")-bisdisulfure

motavizumab

inmunoglobulina G1, anti-(glicoproteína de fusión del virus sincitial respiratorio humano) anticuerpo monoclonal humanizado MEDI-524; cadena pesada gamma1 [VH humanizada (*Homo sapiens* FR/*Mus musculus* CDR)-*Homo sapiens* IGHG1] (223-213')-disulfuro con la cadena ligera kappa [V-KAPPA humanizada (*Homo sapiens* FR/*Mus musculus* CDR)-*Homo sapiens* IGKC]; (229-229":232-232")-bisdisulfido dímero



$\gamma$ -1-Chain / Chaîne  $\gamma$ -1 / Cadena  $\gamma$ -1

QVTLRESGPA	LVKPTQTLT	TCTFSGFSLS	TAGMSVGWIR	OPPGKALEWL	50
ADIWDDKKH	YNPSLKDRLT	ISKDTSKNQV	VLKVTNMDPA	DTATYYCARD	100
MIFNFYFDVM	GOGTTVTSS	ASTKGPSVP	LAPSSKSTSG	GTAALGLCLVK	150
DYFPEPVTVS	WNSGALTSGV	HTFPAAVLQSS	GLYSLSSVVT	VPSSSLGTQT	200
YICNVNNHKPS	NTKVDKRVEP	KSCDKTHTCF	PCPAPELLGG	PSVLFPPPK	250
KDTLMISRTP	EVTCVVVDVS	HEDPEVKFNW	YVDGVEVHNA	KTKPREEQYN	300
STYRVVSVLT	VLHQDWLNKG	EYKCKVSNKA	LPAPIEKTIS	KAKQOPREPQ	350
VYTLPPSREE	MTKNQVSLTC	LVKGFYPSDI	AVEWESENQQP	ENNYKTTTPV	400
LDSDGSSFFLY	SKLTVDKSRW	QQGNVFSCSV	MHEALHNHYT	QKSLSLSPGK	450

$\kappa$  Chain / Chaîne  $\kappa$  / Cadena  $\kappa$

DIQMTQSPST	LSASVGRVVT	ITCSASSRVG	YMHWYQQKPG	KAPKLLIYDT	50'
SKLASGVPSR	FSGSGSGTEF	TLTISSLQPD	DFATYYCFQG	SGYPFTFGGG	100'
TKVEIKRTVA	APSVFIFPPS	DEQLKSGTAS	VVCLNNNFYP	REAKVQWKVD	150'
NALQSGNSQE	SVTEQDSKDS	TYSLSSTLTL	SKADYEKHKV	YACEVTHQGL	200'
SSPVTKSFNR	GEC				213'

Disulfide bridges location / Position des ponts disulfure / Posiciones de los puentes disulfuro  
 22-97 22°-97° 23°-87° 23°-87° 133°-193° 133°-193° 147°-203 147°-203°  
 213°-223 213°-223° 229-229° 232-232° 264-324 264°-324° 370-428 370°-428°

**naproxcinodum**  
naproxcinod

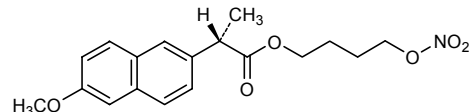
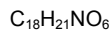
4-(nitrooxy)butyl (2S)-2-(6-methoxynaphthalen-2-yl)propanoate

naproxcinod

(2S)-2-(6-méthoxynaphtalén-2-yl)propanoate de 4-(nitrooxy)butyle

naprocinod

(2S)-2-(6-metoxinaftalen-2-il)propanoato de 4-(nitrooxi)butilo



**omtriptolidum**  
omtriptolide

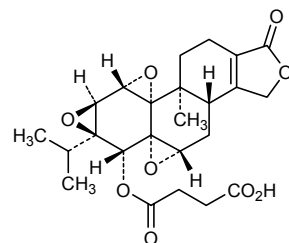
4-[(3bS,4aS,5aR,6R,6aS,7aS,7bS,8aS,8bS)-8b-methyl-6a-(propan-2-yl)-1-oxo-1,3,3b,4,4a,6,6a,7a,7b,8b,9,10-dodecahydrotrisoxireno= [4b,5:6,7:8a,9]phenanthro[1,2-c]furan-6-yl]oxy)-4-oxobutanoic acid

omtriptolide

acide 4-[(3bS,4aS,5aR,6R,6aS,7aS,7bS,8aS,8bS)-8b-méthyl- 6a-(1-méthyléthyl)-1-oxo-1,3,3b,4,4a,6,6a,7a,7b,8b,9,10- dodécahydrotrisoxiréno[4b,5:6,7:8a,9]phénanthro[1,2-c]furan-6-yl]= oxy]-4-oxobutanoïque

omtriptolida

ácido 4-[(3bS,4aS,5aR,6R,6aS,7aS,7bS,8aS,8bS)-8b-metil- 6a-(propan-2-il)-1-oxo-1,3,3b,4,4a,6,6a,7a,7b,8b,9,10- dodecahidrotrisoxireno[4b,5:6,7:8a,9]fenantro[1,2-c]furan-6-il]oxi- 4-oxobutanoico



**pafuramidinum**

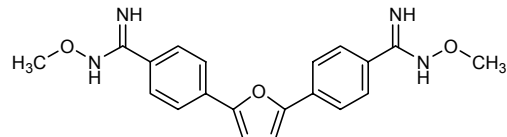
pafuramidine

4,4'-(furan-2,5-diyl)bis(*N*-methoxybenzenecarboximidamide)

pafuramidine

4,4'-(furane-2,5-diyl)bis(*N*-méthoxybenzène carboximidamide)

pafuramidina

4,4'-(furano-2,5-diil)bis(*N*-metoxibencenocarboximidamida)C<sub>20</sub>H<sub>20</sub>N<sub>4</sub>O<sub>3</sub>**pramiconazolum**

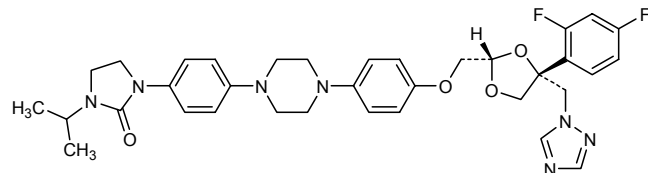
pramiconazole

1-(4-{4-[4-[(2S,4R)-4-(2,4-difluorophenyl)-4-[(1*H*-1,2,4-triazol-1-yl)methyl]-1,3-dioxolan-2-yl]methoxy}phenyl)piperazin-1-yl]phenyl)-3-(propan-2-yl)imidazolidin-2-one

pramiconazole

(+) -1-[4-[4-[4-[(2S,4R)-4-(2,4-difluorophényl)-4-[(1*H*-1,2,4-triazol-1-yl)méthyl]-1,3-dioxolan-2-yl]méthoxy]phényl]pipérazin-1-yl]phényl]-3-(1-méthyléthyl)imidazolidin-2-one

pramiconazol

1-(4-{4-[4-[(2S,4R)-4-(2,4-difluorofenil)-4-[(1*H*-1,2,4-triazol-1-yl)metil]-1,3-dioxolan-2-il]metoxi}fenil)piperazin-1-yl]fenil)-3-(propan-2-il)imidazolidin-2-onáC<sub>35</sub>H<sub>39</sub>F<sub>2</sub>N<sub>7</sub>O<sub>4</sub>**prinaberelum**

prinaberel

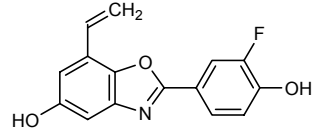
7-ethenyl-2-(3-fluoro-4-hydroxyphenyl)-1,3-benzoxazol-5-ol

prinabérel

7-éthényl-2-(3-fluoro-4-hydroxyphényl)-1,3-benzoxazol-5-ol

prinaberel

7-etenil-2-(3-fluoro-4-hidroxifenil)-1,3-benzoxazol-5-ol

C<sub>15</sub>H<sub>10</sub>FNO<sub>3</sub>

**rilonaceptum\***  
rilonacept

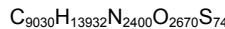
[653-glycine][human interleukin-1 receptor accessory protein-(1-339)-peptide (extracellular domain fragment) fusion protein with human type 1 interleukin-1 receptor-(5-316)-peptide (extracellular domain fragment) fusion protein with human immunoglobulin G1-(229 C-terminal residues)-peptide (Fc fragment)], (659-659':662-662')-bisdisulfide dimer

rilonacept

(659-659':662-662')-bisdisulfure du dimère de la [653-glycine][protéine accessoire du récepteur de l'interleukine-1 humaine-(1-339)-peptide (fragment du domaine extracellulaire) protéine de fusion avec le récepteur de type I humain de l'interleukine-1-(5-316)-peptide (fragment du domaine extracellulaire) protéine de fusion avec l'immunoglobuline G1 humaine-(229 résidus C-terminaux)-peptide (fragment Fc)]

rilonacept

(659-659':662-662')-bisdisulfuro del dímero de la [653-glicina][proteína accesoria del receptor de la interleukina-1 humana-(1-339)-péptido (fragmento del dominio extracelular) proteína de fusión con el receptor de tipo I humano de la interleukina-1-(5-316)-péptido (fragmento del dominio extracelular) proteína de fusión con la inmunoglobulina G1 humana-(229 restos C-terminales)-péptido (fragmento Fc)]



Monomer / Monomère / Monómero							
SERCDDWGGLD	TMRQIQVLFED	EPAARIKCPFLF	EHFLKPNYST	AHSAGLTLIW	50		
YWRQDRDLE	EPINFLRLPEN	RISKEKDVLW	FRPTLLNDTG	NYTCMLRNTT	100		
YCSKVAFPLE	VVKQDKSCFNS	PMKLPVHKLY	IIEYGIQRITC	PNVDGYFPSS	150		
VKPTITWYMG	CYKIQNFFNNV	IPEGMNLSFL	IAILISNNGNY	TCVVTPENG	200		
RTFHLTTRLT	VKVGSPKNA	VEPPVIHSPND	HVVYEKEPGE	ELLIPCTVYF	250		
SFLMDSRNEV	WTWIDGKKPD	DITIDVTINE	SISHSRTEDE	TRTQILSIKK	300		
VTSEDLKRSTY	VCHARSAKGE	VAKAAVKVQK	VPAPRITYVEK	CKEREKIIIL	350		
VSSANIEDVR	PCPLNPNEHK	GTITWYKDDS	KTPVSTEQAS	RHHQHKEKLW	400		
FVPAKVEDSG	HYCVVVRNSS	YCLRIKIKISAK	FVENEPEPNLCY	NAQAIFKQKL	450		
PVAGDGLLVC	PYMEFFKNEN	NELPKLQWYK	DKCPLLLDDNI	HFSGVKDRLL	500		
VMNVAEKHRG	NYTCHASYTY	LGKQYPITRV	IEFITLEENK	PTRPVIVSPA	550		
NETMEVDLGS	QIQLICNVVTG	QLSDIAYWKW	NGSVIDEEDDP	VLGEDDYVSVE	600		
NPANKRSTL	ITVNLNISEIE	SRFYKHPFTC	FAKNTHGIDA	AYIQLIYPVT	650		
NSGDKHTTCP	PCPAPELLGG	PSVFLFPKP	KDTLMSRTP	EVTCVVVDVS	700		
HEDPEVKFNW	YVDGVEVHNNA	KTKPREEQYN	STYRVSVSLT	VLHQDWLNKG	750		
EYKCKVSNKA	LPAPIEKTIS	KAKGQPREQQ	VYTLPPSRDE	LTKNQVSLTC	800		
LVKGFYPSDI	AVEWESENQQP	ENNYKTTPPV	LSDGSFFFLY	SKLTVDKSRW	850		
QQGNVFSCSV	MHEALHNHYT	QKSLSLSPGK			880		

Disulfide bridges location / Position des ponts disulfure / Posiciones de los puentes disulfuro  
 4-102' 4'-102' 27-94' 27'-94' 117-161' 117-161' 140-192' 140-192' 246-312'  
 246-312' 341-422' 341'-422' 362-414' 362-414' 339-482' 339-482' 460-514' 460-514'  
 566-630' 566-630' 659-659' 662-662' 694-754' 694-754' 800-858' 800-858'

**rosabulinum**  
rosabulin

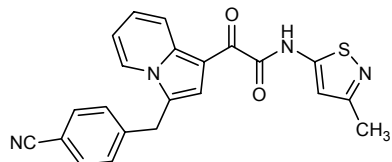
2-[3-[(4-cyanophenyl)methyl]indolizin-1-yl]-N-(3-methyl-1,2-thiazol-5-yl)-2-oxoacetamide

rosabuline

2-[3-(4-cyanobenzyl)indolizin-1-yl]-N-(3-méthylisothiazol-5-yl)-2-oxoacétamide

rosabulina

2-[3-[(4-cianofenil)metil]indolizin-1-il]-N-(3-metilisotiazol-5-il)-2-oxoacetamida

**sagopilonum**

sagopilone

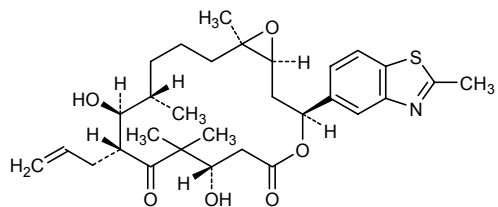
(1*S*,3*S*,7*S*,10*R*,11*S*,12*S*,16*R*)-7,11-dihydroxy-8,8,12,16-tetramethyl-3-(2-methyl-1,3-benzothiazol-5-yl)-10-(prop-2-enyl)-4,17-dioxabicyclo[14.1.0]heptadecane-5,9-dione

sagopilone

(-)-(1*S*,3*S*,7*S*,10*R*,11*S*,12*S*,16*R*)-7,11-dihydroxy-8,8,12,16-tétraméthyl-3-(2-méthyl-1,3-benzothiazol-5-yl)-10-(prop-2-ényl)-4,17-dioxabicyclo[14.1.0]heptadécane-5,9-dione

sagopilona

(1*S*,3*S*,7*S*,10*R*,11*S*,12*S*,16*R*)-7,11-dihidroxi-8,8,12,16-tetrametil-3-(2-metil-1,3-benzotiazol-5-il)-10-(prop-2-enil)-4,17-dioxabicielo[14.1.0]heptadecano-5,9-diona

**sodelglitazarum**

sodelglitazar

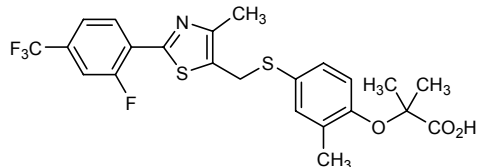
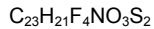
2-{4-[({2-[2-fluoro-4-(trifluoromethyl)phenyl]-4-methyl-1,3-thiazol-5-yl}methyl)sulfanyl]-2-methylphenoxy}-2-methylpropanoic acid

sodelglitazar

acide 2-[4-[({2-[2-fluoro-4-(trifluorométhyl)phényl]-4-méthyl-1,3-thiazol-5-yl)méthyl}sulfanyl]-2-méthylphénoxy]-2-méthylpropanoïque

sodelglitazar

ácido 2-{4-[({2-[2-fluoro-4-(trifluorometil)fénil]-4-metil-1,3-tiazol-5-il}metil)sulfanil]-2-metilfenoxi}-2-metilpropanoico



**sofigatranum**  
sofigatran

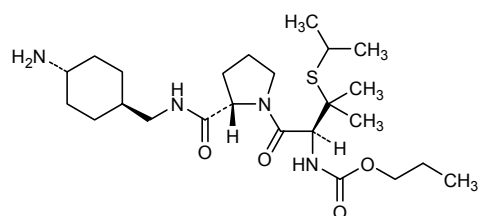
propyl {(1*S*)-1-[(2*S*)-2-[(*trans*-4-aminocyclohexylmethyl)carbamoyl]pyrrolidine-1-carbonyl}-2-methyl-2-[(propan-2-yl)sulfanyl]propyl} carbamate

## sofigatran

[(1*S*)-1-[(2*S*)-2-[(*trans*-4-aminocyclohexyl)méthyl]carbamoyl]pyrrolidin-1-yl]carbonyl]-2-méthyl-2-[(1-méthyléthyl)sulfanyl]propyl carbamate de propyle

## sofigatrán

[(1*S*)-1-[(2*S*)-2-[(*trans*-4-aminociclohexil)metil]carbamoiil]pyrrolidin-1-il]carbonil]-2-metil-2-[(propan-2-il)sulfanil]propil]carbamato de propilo

**succinobucolum**  
succinobucol

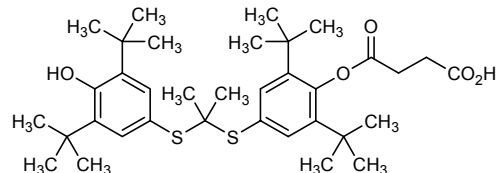
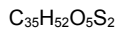
4-{4-[(2-{{[3,5-di(*tert*-butyl)-4-hydroxyphenyl]sulfanyl}propan-2-yl}sulfanyl)-2,6-di(*tert*-butyl)phenoxy}-4-oxobutanoic acid

## succinobucol

acide 4-[4-[[1-[[3,5-bis(1,1-diméthyléthyl)-4-hydroxyphényl]sulfanyl]-1-méthyléthyl]sulfanyl]-2,6-bis(1,1-diméthyléthyl)phén oxy]-4-oxobutanoïque

## succinobucol

ácido 4-[4-[(2-{{[3,5-di(*terc*-butil)4-hidroxifenil]sulfaniil}propan-2-il}sulfaniil)-2,6-di(*terc*-butil)fenoxy]-4-oxobutanoico

**taribavirinum**  
taribavirin

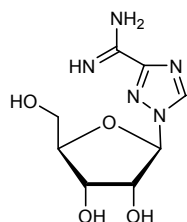
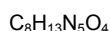
1-β-D-ribofuranosyl-1*H*-1,2,4-triazole-3-carboximidamide

## taribavirine

1-β-D-ribofuranosyl-1*H*-1,2,4-triazole-3-carboximidamide

## taribavirina

1-β-D-ribofuranosil-1*H*-1,2,4-triazol-3-carboximidamida



**tezampanelum**  
tezampanel

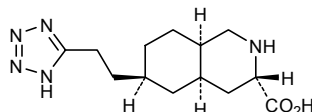
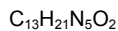
(3*S*,4*aR*,6*R*,8*aR*)-6-[2-(1*H*-tetrazol-5-yl)ethyl]decahydroisoquinoline-3-carboxylic acid

tézampanel

(-)-acide (3*S*,4*aR*,6*R*,8*aR*)-6-[2-(1*H*-tétrazol-5-yl)éthyl]=décahydroisoquinoléine-3-carboxylique

tezampanel

(-)ácido (3*S*,4*aR*,6*R*,8*aR*)-6-[2-(1*H*-tetrazol-5-il)etil]=decahidroisoquinolina-3-carboxílico



**ticagrelorum**  
ticagrelor

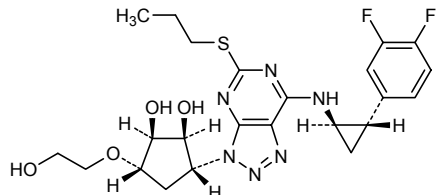
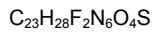
(1*S*,2*S*,3*R*,5*S*)-3-(7-[(1*R*,2*S*)-2-(3,4-difluorophenyl)cyclopropyl]amino)-5-(propylsulfanyl)-3*H*-[1,2,3]triazolo[4,5-*d*]pyrimidin-3-yl)-5-(2-hydroxyethoxy)cyclopentane-1,2-diol

ticagrélör

(1*S*,2*S*,3*R*,5*S*)-3-[7-[(1*R*,2*S*)-2-(3,4-difluorophényl)cyclopropyl]amino]-5-(propylsulfanyl)-3*H*-[1,2,3]triazolo[4,5-*d*]pyrimidin-3-yl]-5-(2-hydroxyéthoxy)cyclopentane-1,2-diol

ticagrelor

(1*S*,2*S*,3*R*,5*S*)-3-(7-[(1*R*,2*S*)-2-(3,4-difluorofenil)ciclopropil]amino)-5-(propilsulfanil)-3*H*-[1,2,3]triazolo[4,5-*d*]pirimidin-3-il)-5-(2-hidroxietoxi)ciclopentano-1,2-diol



**tigapotidum**  
tigapotide

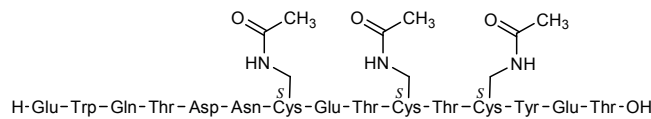
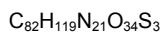
L-glutamyl-L-tryptophyl-L-glutaminyl-L-threonyl-L-aspartyl-L-asparaginyl-S-[(acetamido)methyl]-L-cysteinyl-L-glutamyl-L-threonyl-S-[(acetamido)methyl]-L-cysteinyl-L-threonyl-S-[(acetamido)methyl]-L-cysteinyl-L-tyrosyl-L-glutamyl-L-threonine

## tigapotide

$S^{37}-S^{40}, S^{42}$ -tris[(acetyl amino)méthyl]bêta-microseminoprotéine humaine (protéine PSP94 sécrétée par la prostate)-(31-45)-peptide

## tigapotida

$S^{37}-S^{40}, S^{42}$ -tris[(acetyl amino)metil]beta-microseminoproteína humana (proteína PSP94 secretada por la próstata)-(31-45)-péptido

**tipelukastum**  
tipelukast

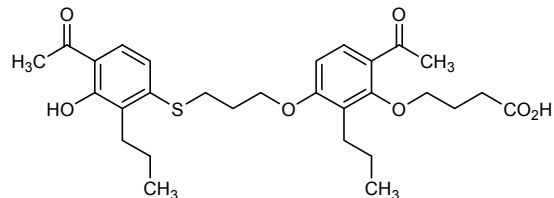
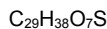
4-(6-acetyl-3-{3-[(4-acetyl-3-hydroxy-2-propylphenyl)sulfanyl]=propoxy}-2-propylphenoxy)butanoic acid

## tipélukast

acide 4-[6-acétyl-3-[3-[(4-acétyl-3-hydroxy-2-propylphényl)sulfanyl]=propoxy]-2-propylphénoxy]butanoïque

## tipelukast

ácido 4-[6-acetil-3-[3-[(4-acetil-3-hidroxi-2-propilfenil)sulfanil]=propoxi]-2-propilfenoxi]butanoico

**tomopenemum**  
tomopenem

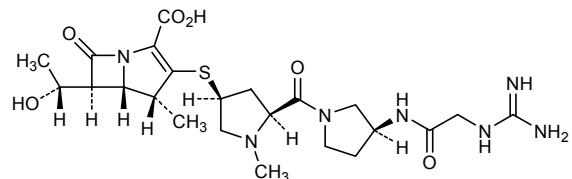
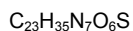
(4*R*,5*S*,6*S*)-3-{{(3*S*,5*S*)-5-[(3*S*)-3-(carbamimidamidoacetamido)=pyrrolidine-1-carbonyl]-1-methylpyrrolidin-3-yl}sulfanyl}-6-[(1*R*)-1-hydroxyethyl]-4-methyl-7-oxo-1-azabicyclo[3.2.0]hept-2-ene-2-carboxylic acid

## tomopénem

(-)-acide (4*R*,5*S*,6*S*)-3-[[({3*S*,5*S*)-5-[(3*S*)-3-[(carbamimidoylamino)=acetyl]amino]pyrrolidin-1-yl]carbonyl]-1-méthylpyrrolidin-3-yl]-sulfanyl]-6-[(1*R*)-1-hydroxyéthyl]-4-méthyl-7-oxo-1-azabicyclo[3.2.0]=hept-2-ène-2-carboxylique

## tomopenem

ácido (4*R*,5*S*,6*S*)-3-{{(3*S*,5*S*)-5-[(3*S*)-3-(carbamimidamidoacetamido)pirrolidin-1-il]carbonil)-1-metilpirrolidin-3-il}sulfanil}-6-[(1*R*)-1-hidroxietil]-4-metil-7-oxo-1-azabiciclo[3.2.0]=hept-2-eno-2-carboxílico



**tylvalosinum**  
tylvalosin

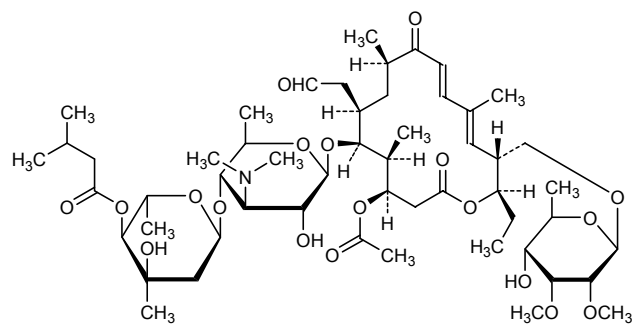
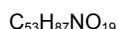
(4*R*,5*S*,6*S*,7*R*,9*R*,11*E*,13*E*,15*R*,16*R*)-15-[(6-deoxy-2,3-di-O-methyl- $\beta$ -D-allopyranosyl)oxy]methyl]-6-((3,6-dideoxy-4-O-[2,6-dideoxy-3-C-methyl-4-O-(3-methylbutanoyl)- $\alpha$ -L-ribo-hexopyranosyl]-3-(dimethylamino)- $\beta$ -D-glucopyranosyl)oxy)-16-ethyl-5,9,13-trimethyl-2,10-dioxo-7-(2-oxoethyl)oxacyclohexadeca-11,13-dien-4-yl acetate

## tylvalosine

(-)acétate de (4*R*,5*S*,6*S*,7*R*,9*R*,11*E*,13*E*,15*R*,16*R*)-15-[(6-désoxy-2,3-di-O-méthyl- $\beta$ -D-allopyranosyl)oxy]méthyl]-6-[[3,6-didésoxy-4-O-[2,6-didésoxy-3-C-méthyl-4-O-(3-méthylbutanoyl)- $\alpha$ -L-ribo-hexopyranosyl]-3-(diméthylamino)- $\beta$ -D-glucopyranosyl]oxy]-16-éthyl-5,9,13-triméthyl-2,10-dioxo-7-(2-oxoéthyl)oxacyclohexadéca-11,13-dién-4-yile

## tilvalosina

(-)acetato de (4*R*,5*S*,6*S*,7*R*,9*R*,11*E*,13*E*,15*R*,16*R*)-15-[(6-desoxi-2,3-di-O-metil- $\beta$ -D-alopiranosil)oxi]metil]-6-[[3,6-didesoxi-4-O-[2,6-didesoxi-3-C-metil-4-O-(3-metilbutanoil)- $\alpha$ -L-ribo-hexopiranosil]-3-(dimetilamino)- $\beta$ -D-glucopiranosil]oxi]-16-etyl-5,9,13-trimetil-2,10-dioxo-7-(2-oxoetil)oxaciclohexadeca-11,13-dién-4-ilo



**vabicaserinum**  
vabicaserin

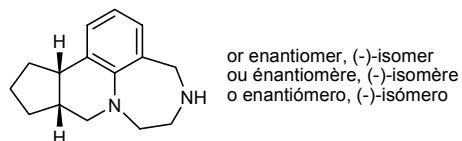
(9a*R*<sup>\*</sup>,12a*S*<sup>\*</sup>)-4,5,6,7,9,9a,10,11,12,12a-decahydrocyclopenta[c][1,4]diazepino[6,7,1-*i*]quinoline

## vabicasérine

(-)-(9a*R*<sup>\*</sup>,12a*S*<sup>\*</sup>)-4,5,6,7,9,9a,10,11,12,12a-decahydrocyclopenta[c][1,4]diazepino[6,7,1-*i*]quinoléine

## vabicaserina

(-)-(9a*R*<sup>\*</sup>,12a*S*<sup>\*</sup>)-4,5,6,7,9,9a,10,11,12,12a-decahidrociclopenta[c][1,4]diazepino[6,7,1-*i*]quinolina

**vapitadinum**

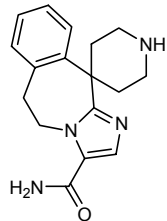
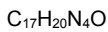
vapitadine

5,6-dihydrospiro(imidazo[2,1-*b*][3]benzazepine-11,4'-piperidine)-3-carboxamide

vapitadine

5,6-dihydrospiro[11*H*-imidazo[2,1-*b*][3]benzazépine-11,4'-pipéridine]-3-carboxamide

vapitadina

5,6-dihidrospiro(11*H*-imidazo[2,1-*b*][3]benzazepina-11,4'-piperidina)-3-carboxamida**veliflaponum**

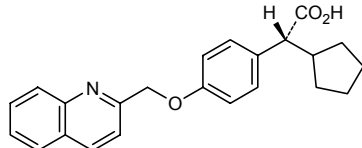
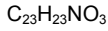
veliflapon

(2*R*)-cyclopentyl{4-[(quinolin-2-yl)methoxy]phenyl}acetic acid

véliflapon

(+) -acide (2*R*)-cyclopentyl[4-(quinoléin-2-ylméthoxy)phényl]acétique

veliflapón

(+) -ácido (2*R*)-ciclopentil[4-(quinolin-2-ilmetoxi)fenil]acético**volinanseratum**

volinanserin

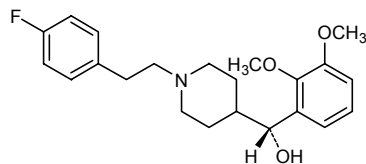
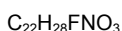
(R)-(2,3-dimethoxyphenyl){1-[2-(4-fluorophenyl)ethyl]piperidin-4-yl}=methanol

volinansérine

(+)-(R)-(2,3-diméthoxyphényl)[1-[2-(4-fluorophényl)éthyl]pipéridin-4-yl]méthanol

volinanserina

(+)-(R)-(2,3-dimetoxifenil)[1-[2-(4-fluorofenil)etil]piperidin-4-il]metanol



**AMENDMENTS TO PREVIOUS LISTS**  
**MODIFICATIONS APPORTÉES AUX LISTES ANTÉRIEURES**  
**MODIFICACIONES A LAS LISTAS ANTERIORES**

**Recommended International Non Proprietary Names (Rec. INN): List 53**  
**Dénominations communes internationales recommandées (DCI Rec.): Liste 53**  
**Denominaciones Comunes Internacionales recomendadas (DCI Rec.): Lista 53**  
*(WHO Drug Information, Vol. 19, No. 1, 2005)*

p. 80	<b>delete/supprimer/suprímase</b> gantacurium chloridum	<i>insert/insérer/insertése</i> gantacurii chloridum
p. 88	<b>panitumumabun</b> panitumumab panitumumab panitumumab	<i>replace the molecular formula by the following</i> <i>remplacer la formule brute par la suivante</i> <i>sustitúyase la fórmula molecular por la siguiente</i>



p. 88	<b>pelitinibum</b> pelitinib	<i>sustitúyase el nombre químico por el siguiente:</i> <i>(2E)-N-[3-ciano-4-[(3-cloro-4-fluorofenil)amino]-7-etoxiquinolin-6-il]-4-(dimetilamino)-2-butenamina</i>
-------	---------------------------------	---

**Recommended International Non Proprietary Names (Rec. INN): List 55**  
**Dénominations communes internationales recommandées (DCI Rec.): Liste 55**  
**Denominaciones Comunes Internacionales recomendadas (DCI Rec.): Lista 55**  
*(WHO Drug Information, Vol. 20, No. 1, 2006)*

p. 45	<b>suprimáse</b> nebicapone	<i>insértese</i> nebicapona
-------	--------------------------------	--------------------------------

\* Electronic structure available on Mednet: <http://mednet.who.int/>

\* Structure électronique disponible sur Mednet: <http://mednet.who.int/>

\* Estructura electrónica disponible en Mednet: <http://mednet.who.int/>

**Procedure and Guiding Principles / Procédure et Directives / Procedimientos y principios generales**

The text of the *Procedures for the Selection of Recommended International Nonproprietary Names for Pharmaceutical Substances* and *General Principles for Guidance in Devising International Nonproprietary Names for Pharmaceutical Substances* will be reproduced in proposed INN lists only.

Les textes de la *Procédure à suivre en vue du choix de dénominations communes internationales recommandées pour les substances pharmaceutiques* et des *Directives générales pour la formation de dénominations communes internationales applicables aux substances pharmaceutiques* seront publiés seulement dans les listes des DCI proposées.

El texto de los *Procedimientos de selección de denominaciones comunes internacionales recomendadas para las sustancias farmacéuticas* y de los *Principios generales de orientación para formar denominaciones comunes internacionales para sustancias farmacéuticas* aparece solamente en las listas de DCI propuestas.